

ساخت لیزر کوچک ضربانی با منبع پیش بونش جرقهای

فریدون سلطانمرادی و سعید امین نعیمی

مرگز تحقیقات هسته‌ای
سازمان انرژی اتمی ایران

چکیده

در این مقاله تخلیه دوگانه عرضی فشار اتمسفری در لیزر گاز کربنیک که از سیستم ردیف جرقهای برای پیش بونش استفاده شده است ارائه می‌گردد. در این روش میتوان شارگازکربنیک (CO_2) را افزایش داد و بدینوسیله بازدهی سیستم لیزر افزایش پیدا خواهد کرد. پیش بونش در سیستم مورد بحث با سیستم پیش بونش جرقهای که گزارش آن قبل "ارائه شده است مقایسه می‌گردد. در اینجا نشان داده‌ایم که قدرت خروجی به مقدار ۱/۱ مگاوات افزایش می‌یابد. آرایش پیش بونش جرقهای برای دو سیستم لیزر گازکربنیک نوع TEA بکار رفته است.

خروجی لیزر اضافه شده و بازدهی حدود ۲۵٪ را گزارش نمودند.

فعالیتهای دیگری نیز روی لیزر گازکربنیک انجام گرفت تا بتوانند قدرت آنرا افزایش دهند. به دلایل موارد استفاده متعدد آن اقداماتی نیز جهت قابل حمل ساختن لیزر انجام گرفت. برای بالا بردن قدرت لیزر یکی از ضرایب مهم درجه حرارت محیط لیزری است که بهترین مقدار آن طی آزمایش‌های حدود ۰-۶ درجه سانتیگراد بددست آمده (۴۲). از اقدامات مهم دیگر خارج کردن گاز از محیط و خنک کردن آن و به محیط بازگردانیدن مجدد آن بود. اقدامات دیگری که برای بهبود قدرت انجام پذیرفت دمش الکتریکی ضربانی طولی لیزر است که این عمل باعث شد تا بتوانند ضربانی با انرژی ۵ زول با ۲۰ کیلووات بیشینه

مقدمه

پانل اولین گزارش راجع به ساخت لیزر CO_2 را ارائه نمود (۱). وی اعلام کرد لیزر گازکربنیکی ساخته است که بطور پیوسته و پالسی در ناحیه‌ای بین ۹/۴ نا ۱۵/۶ میکرون روی خطوط مختلف ارتعاشی چرخشی عمل می‌کند. این لیزر با تحريك طولی گازکربنیک در حدود ۱ میلی‌وات بطور پیوسته فعال بود. در نکامل بعدی لیزر گازکربنیک متوجه شدند که اگر گاز ازت به اندازه کافی با آن مخلوط شود بازدهی لیزر بالا رفته و قدرت خروجی بیشتری حاصل می‌شود. بدین ترتیب قدرت خروجی همان لیزر از یک میلی‌وات به ۱۱/۹ وات افزایش پیدا کرد و بازدهی به ۳ درصد رسید (۲). میلر (۳) و پانل (۴) متعاقباً متوجه شدند که با اضافه کردن هلیوم به مخلوط گازی ازت و گازکربنیک قدرت

شده دارای قدرتی متجاوز از یکصد وات میباشد . اولین لیزر پالسی دارای پالس های با قدرت بیشینه ۸ مگاوات بوده است که با حداکثر یک پالس در ثانیه عمل می نمود . در ادامه این فعالیتها سعی گردید که لیزری طرح شود که بتواند با تعداد پالس های زیادتری در ثانیه کارکند (۲۱) .

متغیر مشاهدات اولینه ، طرق مختلف بالا بردن قدرت خروجی لیزر مورد بررسی قرار گرفت . در این بررسی متوجه شدیم که بکی از مهمترین پارامترها ، میزان درصد گاز کربنیک در مخلوط گازی است (۲۲) . افزایش میزان CO_2 در داخل محیط گازی با سیستم پیش یونش موجود ایجاد جرقه میکرد با توجه به مقالات موجود و آهنگ گازکربنیک مصرفی مشخص شد که شدت UV مربوط به قسمت پیش یونش کافی نبیست (۲۳) . با توجه به سیستم های مختلف پیش یونش مجبور به انتخاب نوعی از سیستم پیش یونش شدیم که حداقل مسائل نکنیکی را در برداشته باشدو ضمناً "تفعیر زیادی در سیستم الکترونیکی مدارها موجب نشود . لذا برای دستگاه فعلی که گزارش میگردد مدار پیش یونش از طریق سری جرقه ای را ترجیح دادیم . لازم به تذکر است که اصولاً "برای حصول به تخلیه الکترونیکی همگن در فشارهای بالا از مدار پیش یونش استفاده میشود تا بتوان در لحظه شروع تخلیه اصلی یک محیط همگن با مقاومت کم در مقابله تخلیه الکترونیکی اصلی قرار گیرد . در نتیجه بهدلیل فشار بالای گاز تعداد ملکول های بیشتری تحت تحریک قرار گرفته و انرژی های بالاتری حاصل میشود . البته روش دیگری هم وجود دارد که تخلیه بسیار سریع می باشد . در این حالت عمل تخلیه باید با سرعتی بسیار بیشتر از سرعت ایجاد جرقه در محیط فعال لیزری انجام گیرد (۲۴) .

وسائل و روشها

سیستم پیش یونش پیشنهادی در دو دستگاه لیزر

قدرت را به دست آورند که در این حال فشار گاز بسیار کمتر از فشار خواست (۲) . روش پیشنهادی دیگر برای افزایش قدرت بالا بردن تعداد ملکول های گازکربنیک یعنی بالابردن فشار گازی لیزراست که در این صورت روش دمتش الکترونیکی طولی امکان پذیر نخواهد بود و لذا روش تحریک عرضی پیشنهاد شد که بنیان لیزرهای TE امروزی ریخته شد و بدین ترتیب روشی برای به دست آوردن پالس هایی با قدرت خیلی زیاد (پالس هایی بقدرت چند مگاوات) ارائه گردید (۸-۱۰) .

در این لیزرهای چون در فشار بالا عمل میشود ، از یک چشمۀ تولید کننده فرابنفش (UV) به عنوان یونیزه کننده اولینه می باید استفاده کرد تا بتوان تخلیه پایدار و بدون جرقه بسته آورد . سیستم پیش یونش معمولاً " بصورت های زیر است : تخلیه کورونا (۱۱) ، تخلیه سطحی (۱۲) ، تخلیه بصورت سری جرقه ای (۱۳) و فوتون های آشعة X (۱۴) .

مسئله مورد نظر در این لیزرهای ساخت لیزر با تعداد پالس های زیاد (HRR) و تپ های نوری قدرت بالا به منظور کاربردهای متعدد است . به عنوان مثال : لیدار (۱۵) ، چشمۀ دمش نوری (۱۶) ، کار روی فلزات و سایر مواد (۱۷) ، تست پاسندگی پلاسما (۱۸) و موارد دیگر را میتوان نام برد . در هر کدام از این موارد انرژی مورد نیاز خودود چند زول در هر تپ لیزری است و این مقدار انرژی توسط لیزر پالسی CO_2 که بطور عرضی تحریک میشود قابل حصول است .

کار روی ساخت لیزر پیوسته گازکربنیک در گروه لیزر از ابتدای شروع کار این گروه آغاز شده و متغیر آن کار روی ساخت لیزر پالسی و اجرای آزمایش هایی با استفاده از آن صورت گرفته است (۱۹ و ۲۰) .

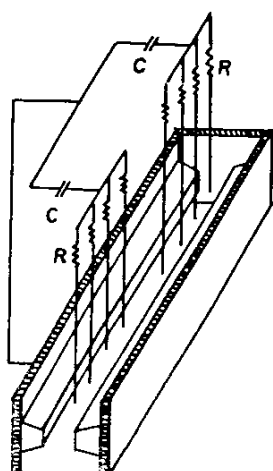
در تکامل لیزر موج پیوسته ، آخرین لیزر ساخته

مدت کوتاهی معکوس میشود. در این حالت اختلاف پتانسیل بین دوالکترود لیزری که قبلاً "برابر صفر" بود به مقدار $2V$ افزایش می‌یابد. بدین ترتیب ابتدا تخلیه درمدار پیش یونش اولیه شروع شده و این تخلیه تا زمان τ که مقدار آنرا ظرفیت خازن و مقاومت مدار پیش یونش تعیین میکند آدامه می‌یابد. پس از گذشت این زمان و یا هادی شدن محیط لیزری و کم شدن مقاومت آن تخلیه اصلی آغاز شده و عمل تحریک جهت ایجاد لیزر انجام میگیرد.

در دستگاه ذوم به جای یک سری خازن و مقاومت از یک سری مقاومتهای موازی هریک برابر با $260\text{ }\Omega$ اهم که از وسط به دو گروه تقسیم شده است و هر گروه توسط یک خازن 2 nF به الکترود دیگر متصل میشود استفاده شد. طرح مدار ذر شکل ۲ نشان داده شده است.

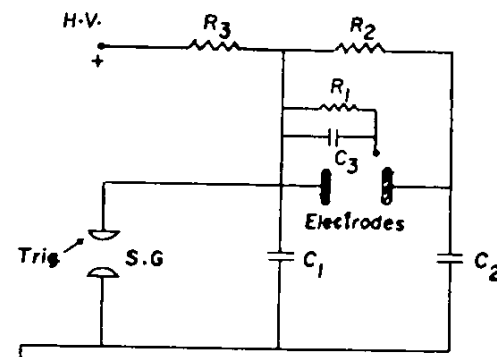
آزمایش گردید. یک دستگاه ذارای ابعاد قبلی و دسته، دوم دارای ابعاد $15\times 5\times 0.8\text{ cm}^3$ سانتیمتر مکعب است هر دو دستگاه بخوبی مزیت مدار پیش-یونش پیشنهادی را نشان داده‌اند.

در دستگاه شماره یک با ابعاد $10\times 10\times 20\text{ cm}^3$ میلیمتر مکعب مدار پیش یونش تشکیل شده است از ۵ سوزن برای ایجاد حرقه. هرکدام از سوزن‌ها توسط یک مدار RC مواری به یکی از الکترودها متصل شده است. با مشاهده بهتر شدن عمل، سوزن‌ها را به ده عدد در طول الکترودهای لیزری افزایش دادیم که در این حالت مدار هر سوزن تشکیل شده است از یک مقاومت $1\text{ k}\Omega$ و یک سوزن یک کیلوواهی که با یک خازن 1 nF نانوفارادی مواری شده است. شکل ۱ مدار مورد نظر را نشان میدهد.



شکل ۲ - شکل هندسی مدار پیش یونش در لیزر نوع TEA

این سیستم نیز بخوبی عمل کرده و قدرت خروجی



شکل ۱ - نمایش مدار الکتریکی بکار رفته در لیزر ضربانی نوع TEA

مدار تخلیه اصلی همان مدار دوپراکننده LC است که طرز کار آن بقرار زیر است:

ابتدا اسپارک گپ مدار قسمت الف را بسته و باعث میشود که جریان در مدار الف شروع گشته و بین دو سرخازن C_1 جریانی برقراشود. به علت وجود ضرب سلفی در مدار الف جریان در داخل این مدار ریخته و ولتاژ ذو سرخازن C_1 برای

خط لیزری نیز همزمان نوسط اسپکترومتر بررسی نمودیم که نشان داد روى خط 14° مروسط به طول موج $10/6$ میکرون عمل لیزر حاصل مشود . س لیزر دراین حالت کمی بیشتر از سک مکاوب است که ۵ برابر کزارش قبل میباشد (۲۱) . ولی، بهمای تپ همان مقدار 100 نانو نانosecond را نشان مدهد . بالس حریان دراین حالت درشکل ۴ آورده شده که نوسط بوبین روکوفسکی س حریان با فله 400 آمر در تخلیه اصلی را نشان مدهد . این س دارای پهنهای 500 نانو نانosecond است .

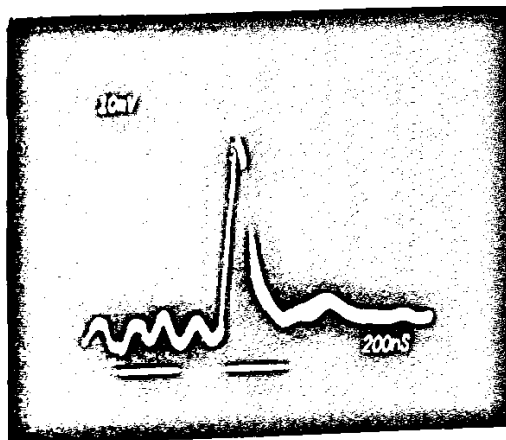
ب - درصد شارکازها و نانبر آن روی قدرت خروجی لیزر

ابندا کازهایلیوم و ازت (N_2 : He : ۱۱) بررسی با نسبت (۷ و ۱) ثابت نگداشته و شارکارکردنک را از $5/5$ نا $5/5$ تغییر مدهیم ما مرز حرقه ردن سی دوالکترود را پیدا کنیم (علت محدود بودن درجه بندهی نشان دهنده حریان کاز به حدنهایی شار نرسیدیم) . البته با همین میزان نیز س ۴ درجه

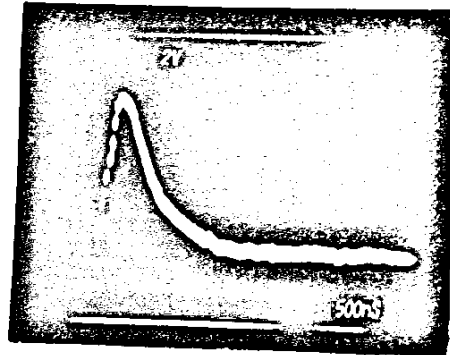
برابر 150 کیلو وات از آن دریافت گردید . مکانیسم عمل دراین جهت تحت بررسی است . پس از بررسی لازم برای ساخت دستگاه لیزر بزرگ پسر قدرت یکی از این دو سیستم می باید در نظر گرفته شود . یادآور میشویم که هر دو سیستم تا 30 هرتز بدون جرقه عمل میکند .

یافتهها و بررسی آنها
اندازهگیری‌ها برای دستگاه شماره ۱ به ابعاد $10 \times 10 \times 200$ میلیمتر مکب انجام گرفته است که نتایج حاصل به قرار زیر است :

الف - اندازهگیری ضربان قدرت خروجی
پس از کارانداختن مدار پیش یوشن دستگاه و مطمئن شدن از ثبات تخلیه الکتریکی دوفرکانسیهای مختلف، قدرت خروجی لیزر اندازهگیری شد . در این اندازهگیری از آشکارساز رافین (Rofin) استفاده شده است . نمونهای از رفتار زمانی خروجی آشکارساز را درشکل ۳ نشان داده‌ایم .



شکل ۳- نمونهای از رفتار زمانی تپ لیزر نوع TEA با استفاده از آشکارساز رافین .



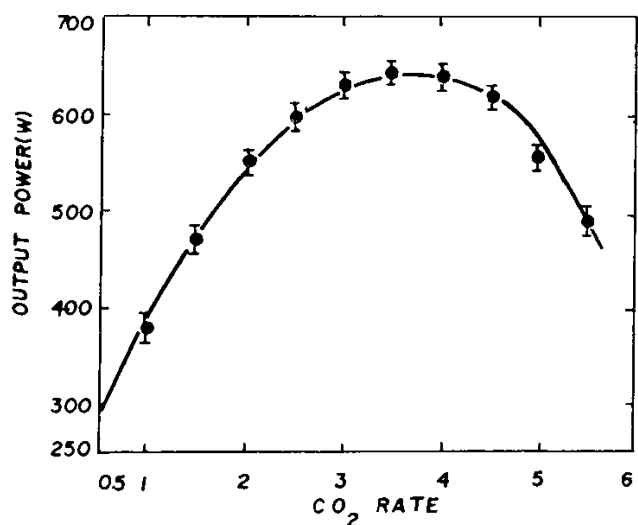
شکل ۴- نمایشی از رفتار زمانی جریان در تخلیه اصلی با استفاده از بویین روگوفسکی

نتیجه‌گیری

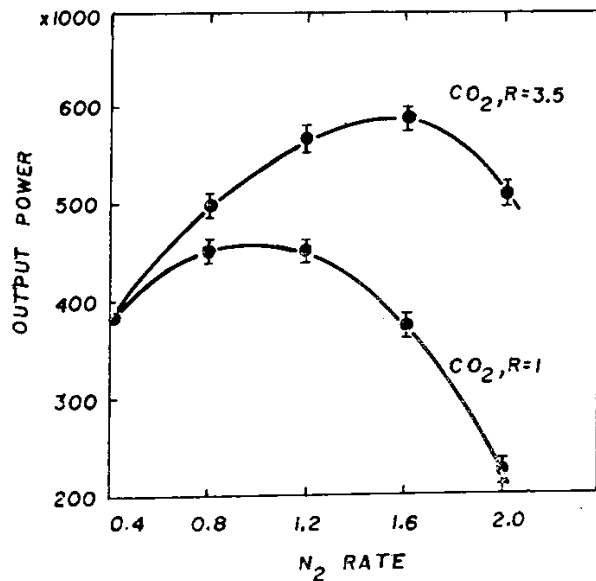
بازوچه به نتایج این آزمایش و گزارش قبلی متوجه می‌شویم که مدار پیش‌بونش سوزنی از بازدهی بسیار بالاتری برخوردار است. لذا در سیستم‌نهائی از مدار پیش‌بونش سری جرقه بدلیل سادگی و حصول بازدهی بالا استفاده خواهد شد. بررسی - های دیگر نیز نشان میدهد که مدار RC از مدار R و LC بهتر است. البته در نهایت می‌باید اضافه کرد که آئینه این سیستم هنوز آئینه ۷۵٪ (برای قدرت بهینه شده) نیست. لذا قدرت خروجی با آئینه متعلق به سیستم باز هم افزایش پیدا خواهد کرد. مورد دیگر سعی در گرفتن وزنهای خروجی گاز و چرخانه کردن سیستم گاز برای پائین آوردن شار هلیوم می‌باشد.

بیش از حالت پیش‌بونش سیمی بالا رفته است. در این حالت نتایج بررسی قدرت خروجی و رابطه آن با درصدگاز ذرشکلها (۵ و ۶ نشان داده شده است. در مرحله دوم تغییرات شار ازت بررسی شد. با ثابت نگاهداشتن شار گاز هلیوم و اندیرد کربنیک ($\text{CO}_2 : \text{He}$) به نسبت‌های متفاوت (۱ و ۲) و (۲ و ۵/۳) رابطه قدرت خروجی نسبت به شار ازت بررسی شد که باز هم بعلت محدودیت قبلي به موز جرقه نرسیدیم. در نهایت با تنظیم کامل آئینه - های لیزر و میزان کازهای لیزر توانستیم با نسبت‌های (۲ و ۵/۵ و ۷) مخلوط گازی ($\text{N}_2 : \text{CO}_2 : \text{He}$) در ولتاژ کار ۱۲ کیلوولت قدرت خروجی لیزر را برابر ۱/۱ مکاوات دریافت کنیم. سرعت تکارپذیری در این مورد تا ۳۵ هرتز امکان‌پذیر شده است.

فریدون سلطانمرادی و سعید امین نعیمی . ساخت لیزر کوچک ضربانی .



شکل ۵- نتایج اندازهگیری قدرت خروجی لیزر بر حسب شار گاز کربنیک .



شکل ۶- نتایج اندازهگیری قدرت خروجی لیزر بر حسب شار ازت .



تشکر و قدردانی

بدینوسیله از همکاری صمیمانه آقایان سعید الهیاری و حمیدرضا دشتیزاده بوشهری تشکر و قدردانی میشود.

References

1. C.K.N. Patel, Continuos-Wave Laser Action on Vibrational Rotation Transitions of CO_2 , Phys. Rev. Lett. 336A 1187 (1964).
2. C.K.N. Patel, Cw High-Power $\text{N}_2\text{-CO}_2$ Laser, Appl. Phys. Lett. 7, 15 (1965).
3. G. Moller, J.D. Rigden, High-Power Laser Action in $\text{CO}_2\text{-He}$ Mixtures, App. Phys. Lett., 7, 274 (1965).
4. C.K.N. Patel, P.K. Tien, Cw High-Power $\text{CO}_2\text{-N}_2\text{-He}$ Laser, Appl. Phys. Lett., 7, 290 (1965).
5. C. Frapard, M. Roulot, High Peak Power Pulsed- $10\mu\text{m}$ CO_2 Laser, Phys. Lett., 20, 384 (1966).
6. M.J. Weber, T.F. Deutsch, Pulsed and Steady-State Infrared Emission Studies of CO_2 Laser System, IEEE.J. Quantum. Electron., QE-2, 369 (1966).
7. A.E. Hill, Multijoule Pulses From CO_2 Lasers, Appl. Phys. Lett., 12, 324 (1968).
8. D.C. Smith, A.J. Demaria, Parametric Behaviour of The Atmospheric Pressure Pulsed CO_2 Laser, J.Appl. Phys., 41, 5212 (1970).
9. A.M. Robinson, Effect of Inductance on The Small-Signal Gain of a Transverse-Excitation Atmospheric Pressure Discharge in Carbon Dioxide, IEEE.J. Quantum. Electron. QE-7, 199 (1971).
10. D.T. Rampton, O.P. Gandhi, Performance Characteristics of A Helical TEA CO_2 Laser, Appl. Phys. Lett., 21, 457 (1972).
11. R. Marchetti, Compact Sealed TEA CO_2 Lasers With Corona Discharge Preionization, IEEE.J. Quantum. Electron. QE-19, 1488 (1983).
12. K. Matsumoto, Auv-Preionized High-Repetition-Rate TEA CO_2 Laser, JAPAN. J.Appl. Phys. 19, 1959 (1980).
13. B. Norris, Operation of Sliding Spark Arrays for Laser Preionization, J. Phys.E.Sci. Instrum. 10, 551 (1977).
14. A.V. Kozyrev, Use of x-Ray Radiation to Preionize The Active Medium

فریدون سلطانمرادی و سعید امین نعیمی . ساخت لیزر کوچک ضربانی .

- in High-Pressure Gas Lasers. Sov. J. Quantum. Electron 14, 356 (1984).
15. J.M. Cruickshank, Transversely Excited Atmospheric. CO_2 Laser Radar with Heterodyne Detectron, Appl. Opt. 18, 290 (1979).
16. P. Mathieu, J.R. Iyatt, Narrow-Band CO_2 -TEA Laser for Efficient FIR Laser Pumping, IEEE.J. Quantum. Electron, QE-13, 465 (1977).
17. N.G. Basov, High-Power Electrization CO_2 and CO Laser for Industrial Application, IEEE.J. Quantum. Electron, QE-21, 342 (1985).
18. W.T. Silfvast, L.H. Szeto, Ultra-High-Gain Laser Produced Plasma Laser in Xenon Using Periodic Pumping, Appl. Phys. Lett, 34, 213 (1979).

۱۹- سیاوش مشق همدانی ، طرح ، ساختمان و طرز کار یک لیزر گازکربنیک با قدرت ۵۰ وات ، گزارش فنی سازمان انرژی اتمی ، شماره ۶۴ (۱۳۵۵) .

۲۰- سیاوش مشق همدانی ، مقایسه مشخصات یک لیزر گازکربنیک با نتایج بدست آمده از مدل تئوری پنج درجه حرارتی ، بولتن علمی سازمان انرژی اتمی ، شماره ۴ و ۳۶ ، تابستان (۱۳۶۲) .

۲۱- فریدون سلطانمرادی ، سعید امین نعیمی ، ساخت لیزر کوچک ضربانی گازکربنیک با تحریک عرضی در فشار آنسفر ، گزارش علمی و فنی سازمان انرژی اتمی ، شماره ۷۶ (۱۳۶۵) .

22. D.S. Stark and M.R. Harris, Platinum-Catalysed Recombination of CO and O_2 in Sealed CO_2 TEA Laser Gases, J. Phys. E: Sci. Instrum, 11, 315 (1978).
23. O.P. Judd, J.Y. Wada, Investigation of Auv Preionized Electrical Discharge and CO_2 Laser, IEEE. J. Quantum. Electron, QE-10,12 (1974).

DESIGN AND CONSTRUCTION OF MINI TEA CO₂ LASER
WITH SPARK ARRAY PREIONIZATION

F. Soltanmoradi and S.A. Naimi

Nuclear Research Center
Atomic Energy Organization of Iran
P. O. Box 11365-8486 Tehran-Iran
Islamic Republic of Iran

Abstract

We are reporting the operation of a double-discharge transversely excited atmospheric pressure (TEA) CO₂ laser with spark array preionization system. In this method we can increase the rate of CO₂ gas pressure and thereby the efficiency of the laser. This system is compared with the wiring system which has been reported previously.

It has been shown that the output power was increased to 1.1 MW. This configuration has been applied to two different small size TEA CO₂ lasers.